

Funzioni di frammentazione in due adroni

Marco Radici

INFN e DFNT – Univ. di Pavia

Dottorato di Ricerca in Fisica – Univ. Pavia – A.A. 2006/07

Outline

1. Introduzione: OPE \rightarrow I.P.M. \rightarrow approccio diagrammatico
 \rightarrow teoremi di fattorizzazione
2. Frammentazione in 1 adrone: stato dell'arte per $e^+e^- \rightarrow h + X$;
 \rightarrow sviluppo in $N^n\text{LO}$, $N^m\text{LL}$, $1/Q^{t-2}$
3. Introduzione alle regole del **Jet Calculus**

1. **Introduzione**
2. Frammentazione in 1 adrone
3. Jet Calculus

1. **OPE**
2. Approccio diagrammatico
3. Teoremi di fattorizzazione

Preambolo

- teoria delle interazioni forti rinormalizzabile → divergenze ultraviolette (UV) cancellate da opportuni controtermini nella \mathcal{L}_{QCD}

- Operator Product Expansion (OPE) garantisce:

$$\hat{A}(x) \hat{B}(y) \equiv \sum_{i=0}^{\infty} C_i(x-y) \hat{O}_i\left(\frac{x+y}{2}\right)$$

- eliminazione di patologie nella definizione di $W^{\mu\nu}$ di processi elementari
- fattorizzazione rigorosa tra fisica a corta e lunga distanza
- classificazione dei termini dominanti per processi dominati da cinematica sul Light-Cone (LC)
- contiene l'asymptotic freedom, assunta nel Parton Model (PM), ma non produce confinamento
- sottoprodotto: regola di somma di momento

$$M_F^n(Q^2) \leftrightarrow C_n(Q^2, \mu_F) \langle P | \hat{O}_{\mu_1 \dots \mu_n}(0, \mu_F) | P \rangle$$

dati
calcolo
reticolo

1. **Introduzione**

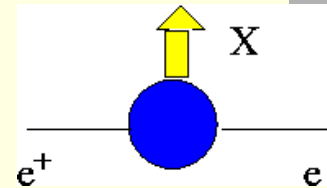
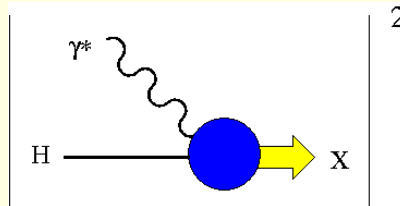
- 2. Frammentazione in 1 adrone
- 3. Jet Calculus

1. OPE

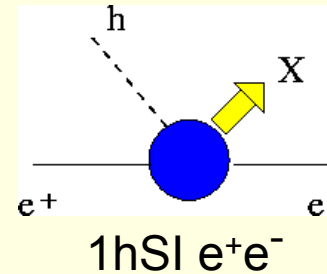
- 2. **Approccio diagrammatico**
- 3. Teoremi di fattorizzazione

- OPE dimostrabile solo per e^+e^- inclusivo

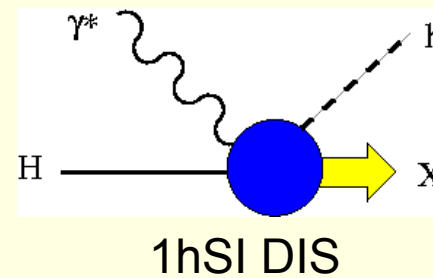
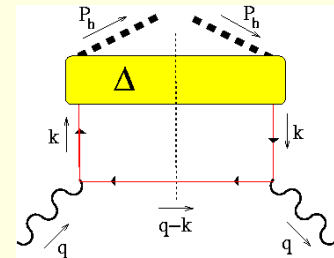
e DIS inclusivo



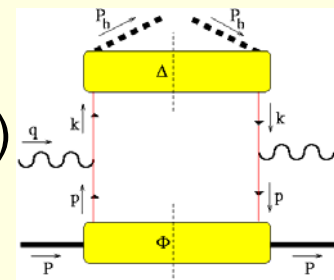
- per processi Semi-Inclusivi (SI)
 - ricerca di contributi principali in processi dominati da LC kin. (approccio diagrammatico)
 - Improved PM (IPM)



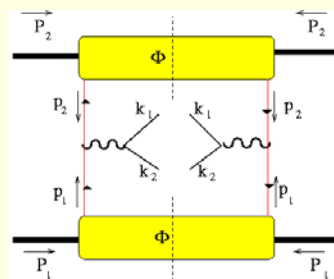
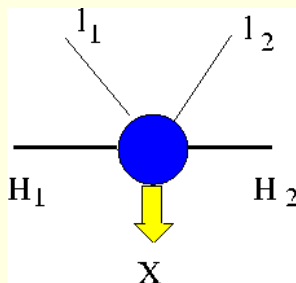
$O(\alpha_s^0)$



$O(\alpha_s^0)$



ma anche Drell-Yan



1. Introduzione

2. Frammentazione in 1 adrone
3. Jet Calculus

1. OPE
2. Approccio diagrammatico
3. **Teoremi di fattorizzazione**

- Teoremi di fattorizzazione *ad hoc* per ciascun processo:

- $e^+ e^- \rightarrow h + X$	}	Ellis et al., N.P. B152 (79) 285
- $\gamma^* p \rightarrow h + X$		Amati, Petronzio, Veneziano, N.P. B140 (78) 54
		Altarelli, Ellis, Martinelli, Pi, N.P. B160 (79) 301
		Furmanski e Petronzio, Z.P. C11 (82) 293
- $H_1 H_2 \rightarrow I_1 I_2 + X$		Collins, Soper, Sterman, N.P. B250 (85) 199

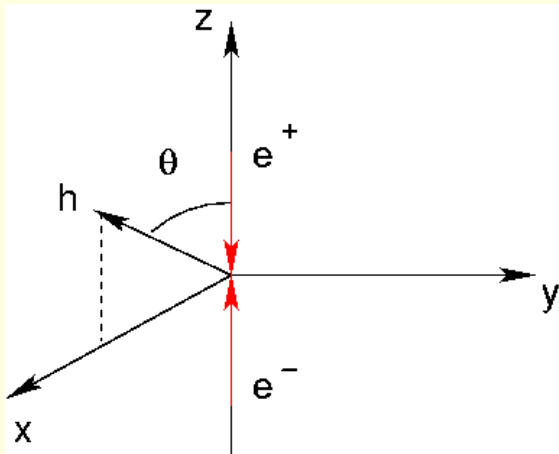
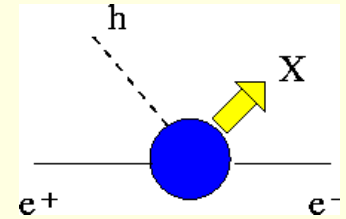
- Generalizzati per includere dinamica non collineare (transverse momentum dependent parton distributions – TMD):

- $e^+ e^- \rightarrow h + X$	Collins e Soper, N.P. B193 (81) 381
- $\gamma^* p \rightarrow h + X$	Collins e Metz, P.R.L. 93 (04) 252001
	Ji, Ma, Yuan, P.R. D71 (05) 034005

1. Introduzione
2. Frammentazione in 1 adrone
3. Jet Calculus

1. Calcolo nel Parton Model (LO)
2. Calcolo al NLO
3. Large Logs
4. Stato dell'arte per $e^+e^- \rightarrow h + X$

Frammentazione in 1 adrone



$$k^{\pm \mu} = (E, 0, 0, \mp E)$$

$$q^{\mu} = (2E, \mathbf{0})$$

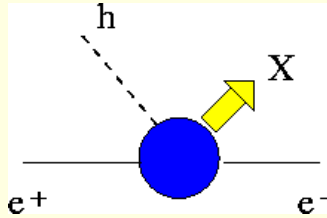
$$P_h^{\mu} = (E_h, E_h \sin \theta, 0, E_h \cos \theta)$$

$$z = \frac{2P_h \cdot q}{q^2} \sim \frac{4EE_h}{4E^2} = \frac{E_h}{E} \begin{cases} E_h \sim 0 & z \rightarrow 0 \\ E_h \sim E & z \rightarrow 1 \end{cases}$$

$\sim "x_B^{-1}"$, misura elasticita`

1. Introduzione
2. Frammentazione in 1 adrone
3. Jet Calculus

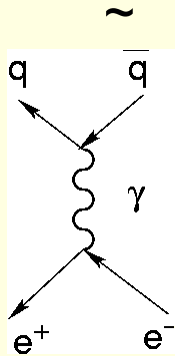
1. Calcolo nel Parton Model (LO)
2. Calcolo al NLO
3. Large Logs
4. Stato dell'arte per $e^+e^- \rightarrow h + X$



$$d\sigma = \frac{1}{\mathcal{F}} |\mathcal{M}|^2 dR \quad \mathcal{F} = 4\sqrt{(k \cdot k')^2 - k^2 k'^2} = 2Q^2 \equiv 2s$$

$$dR = (2\pi)^4 \delta(q - P_X - P_h) \frac{d\mathbf{P}_X}{(2\pi)^3 2P_X^0} \frac{d\mathbf{P}_h}{(2\pi)^3 2E_h}$$

fattorizzazione $O(\alpha_s^0)$



$$|\mathcal{M}|^2 = \frac{e^4}{Q^4} L_{\mu\nu} H^{\mu\nu} \begin{cases} L_{\mu\nu} = 2(k_\mu k'_\nu + k'_\mu k_\nu - k \cdot k' g_{\mu\nu}) \\ H^{\mu\nu} = \sum_{S_X} \langle 0 | J^\mu | P_X, P_h \rangle \langle P_X, P_h | J^\nu | 0 \rangle \end{cases}$$

$$d\hat{\sigma} = \frac{1}{\hat{\mathcal{F}}} |\hat{\mathcal{M}}|^2 d\hat{R} \quad d\hat{R} = dR(\mathbf{P}_X \leftrightarrow \mathbf{P}_1, \mathbf{P}_h \leftrightarrow \mathbf{P}_2)$$

$$\hat{H}^{\mu\nu} = e_q^2 \text{Tr}[\bar{u}\gamma^\mu v \bar{v}\gamma^\nu u]$$

\otimes

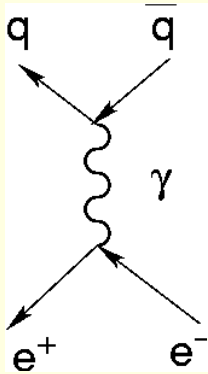
$$D^{q \rightarrow h}(z)$$

decay function



1. Introduzione
2. Frammentazione in 1 adrone
3. Jet Calculus

1. Calcolo nel Parton Model (LO)
2. Calcolo al NLO
3. Large Logs
4. Stato dell'arte per $e^+e^- \rightarrow h + X$



dal PM: $\hat{\sigma}(e^+e^- \rightarrow q\bar{q}) \equiv \sigma(e^+e^- \rightarrow \mu^+\mu^-)$

$$= \int d\Omega \frac{d\sigma}{d\Omega} = \frac{\alpha^2}{4Q^2} e_q^2 \int d\Omega (1 + \cos^2 \theta) = \frac{4\pi\alpha^2}{3Q^2} e_q^2$$

$$\frac{d\hat{\sigma}}{dz} = \frac{4\pi\alpha^2}{3Q^2} e_q^2 \delta(1-z)$$

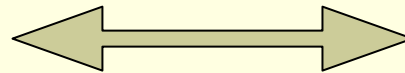
$$\frac{1}{\hat{\sigma}} \frac{d\hat{\sigma}}{dz} = \delta(1-z)$$

Definizione di \otimes : $f \otimes g(x) \equiv \int_0^1 dy dz f(y) g(z) \delta(x - yz)$

$$= \int_0^1 \frac{dz}{z} dy \delta\left(\frac{x}{z} - y\right) f(y) g(z) = \int_x^1 \frac{dz}{z} f\left(\frac{x}{z}\right) g(z)$$

Ergo: $\frac{1}{\sigma} \frac{d\sigma}{dz} = \frac{1}{\hat{\sigma}} \frac{d\hat{\sigma}}{dz} \otimes D^{q \rightarrow h} = \int_z^1 \frac{dy}{y} \delta\left(1 - \frac{z}{y}\right) D^{q \rightarrow h}(y) \equiv D^{q \rightarrow h}(z)$

funzione di frammentazione
osservabile

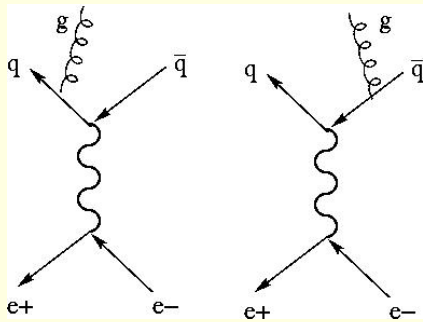


decay function
non osservabile

1. Introduzione
2. Frammentazione in 1 adrone
3. Jet Calculus

1. Calcolo nel Parton Model (LO)
2. **Calcolo al NLO**
3. Large Logs
4. Stato dell'arte per $e^+e^- \rightarrow h + X$

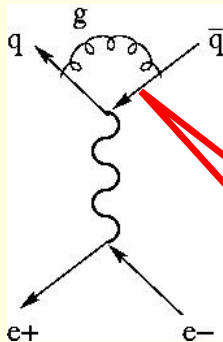
Oltre il PM: $O(\alpha_s) \Leftrightarrow$ Next-to-Leading Order (NLO)



emissione di g reale
non è sufficiente:

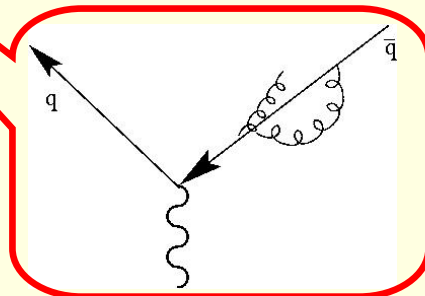
$$d\hat{\sigma} \sim \frac{z_1^2 + z_2^2}{(1 - z_1)(1 - z_2)}$$

poli non integrabili



emissione di g virtuale cancella divergenze di g reale
→ sez. d'urto totale finita

$$\hat{\sigma}^{NLO} = \hat{\sigma}^0 \left(1 + \frac{\alpha_s}{2\pi} \right)$$



emissione di radiazione soft
→ A.P. splitting functions
→ divergenze collineari in $d\sigma$

1. Introduzione
2. Frammentazione in 1 adrone
3. Jet Calculus

1. Calcolo nel Parton Model (LO)
2. **Calcolo al NLO**
3. Large Logs
4. Stato dell'arte per $e^+e^- \rightarrow h + X$

regolarizzazione dimensionale $D=4-\epsilon$ alla scala fittizia μ_D

$$\begin{aligned} \frac{1}{\sigma^{NLO}} \frac{d\sigma^{NLO}}{dz} &= \frac{1}{\hat{\sigma}^{NLO}} \frac{d\hat{\sigma}^{NLO}}{dz} \otimes D(z) \\ &= \sum_{ij} e_i^2 \left\{ \delta(1-z) \left[1 + \frac{\alpha_s}{2\pi} P_{ij} \left(\log \frac{Q^2}{\mu_D^2} - \frac{1}{\epsilon} + \gamma_E - \log(4\pi) \right) \right] + \frac{\alpha_s}{2\pi} f_{ij}(z) \right\} \otimes D_j(z) \\ &= \sum_{ij} e_i^2 \frac{\alpha_s}{2\pi} f_{ij}(z) \otimes D_j^{NLO}(z) \end{aligned}$$

termini finiti =
emissione di
g "duri" a
grande angolo

$$D_i^{NLO}(z) = \sum_j D_j(z) \otimes \delta(1-z) \left\{ 1 + \frac{\alpha_s}{2\pi} P_{ij} \left(\log \frac{Q^2}{\mu_D^2} - \frac{1}{\epsilon} + \gamma_E - \log(4\pi) \right) \right\}$$

$$= \frac{1}{\hat{\sigma}^{NLO}} \frac{d\hat{\sigma}^{NLO}}{dz} \Big|_{reg.} \otimes D^{NLO}(z)$$

- divergenze collineari assorbite in D, universale e incognita; schema MS
- cancellazione di scala fittizia μ_D e dipendenza da scala fattorizzazione $\mu_F^2=Q^2$
- indipendenza della fisica da μ_F : evoluzione di $d\sigma^{el}$ e D deve compensarsi

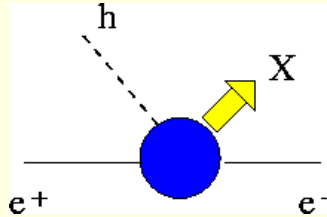


$$\frac{d d\sigma^{NLO}}{d \log \mu_F^2} = 0 \Rightarrow \frac{d D_i^{NLO}}{d \log Q^2} = \frac{\alpha_s}{2\pi} \sum_j P_{ij} \otimes D_j^{NLO}$$

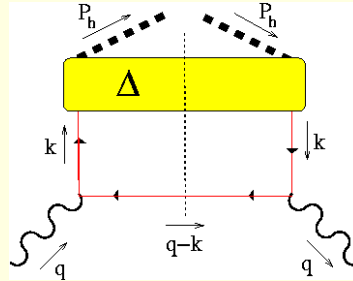
1. Introduzione
2. **Frammentazione in 1 adrone**
3. Jet Calculus

1. Calcolo nel Parton Model (LO)
2. **Calcolo al NLO**
3. Large Logs
4. Stato dell'arte per $e^+e^- \rightarrow h + X$

Ricapitolando:



← teorema →
di fattorizzazione



$$\Delta(k, P_h) = \sum_{S_h, X} \int \frac{d^4\zeta}{(2\pi)^4} e^{ik \cdot \zeta} \times \langle 0 | \psi(\zeta) | P_h S_h, X \rangle \times \langle P_h S_h, X | \bar{\psi}(0) | 0 \rangle$$

$$\frac{d\sigma}{dz} = d\hat{\sigma}(\alpha_s, Q, \mu_F) \otimes D(z, \mu_F)$$

calcolo ad ordine fisso
 $O(\alpha_s^n) = N^n \text{LO}$

assorbe le divergenze
collineari corrispondenti

espansione $1/Q^n$
proiezioni di twist t

$\Delta^{[\gamma^-]}$	$= D_1(z)$	2
$\Delta^{[1]}$	$= E(z)$	3
$\Delta^{[\gamma^- \gamma^+]}$	$= iH(z)$	3

$$\Delta^{[\Gamma]}(z) = \frac{1}{4z} \int dk^+ dk_T \text{Tr} [\Delta(k, P_h) \Gamma] \Big|_{k^- = P_h^- / z}$$

però questa classificazione può non essere sufficiente!

1. Introduzione
2. **Frammentazione in 1 adrone**
3. Jet Calculus

1. Calcolo nel Parton Model (LO)
2. Calcolo al NLO
3. **Large Logs**
4. Stato dell'arte per $e^+e^- \rightarrow h + X$

Esempio: fattorizzazione di quark pesante con massa m_q
 calcolo di $d\sigma^{\hat{N}LO}$ non richiede μ_D ma m_q , che fa da I.R. cut-off

$$\sim \dots \frac{\alpha_s}{2\pi} P_{ij} \log \frac{Q^2}{m_q^2} \dots \equiv \frac{P_{ij}}{2\pi b_0} \left(\log \frac{Q^2}{\Lambda_{QCD}^2} \right)^{-1} \log \frac{Q^2}{m_q^2} \sim \text{const.}$$

serie non converge!

Altri esempi: $H_1 H_2 \rightarrow \text{jet}_1 \text{jet}_2 + X$ con largo $p_T \ll \sqrt{s}$ $\frac{\alpha_s(Q^2)}{2\pi} \log \frac{s}{p_T^2} \sim 1$

$H_1 H_2 \rightarrow l_1 l_2 + X$ con largo $p_T \ll Q$ $\frac{\alpha_s(Q^2)}{2\pi} \log \frac{Q^2}{p_T^2} \sim 1$

importanza di altre scale “semi-dure” rispetto a Q^2 in processi S.I.
 → analizzare spettro di molti adroni in frammentazione singola

1. Introduzione
2. **Frammentazione in 1 adrone**
3. Jet Calculus

1. Calcolo nel Parton Model (LO)
2. Calcolo al NLO
3. **Large Logs**
4. Stato dell'arte per $e^+e^- \rightarrow h + X$

Prima di considerare la frammentazione in multiadroni, rivediamo l'esempio della frammentazione del quark pesante m_q :

a scala Q produzione > frammentazione di q massless > frammentazione di di q massless $\mu \sim Q$ in q con $m_q \neq 0$ $\mu_0 \sim m_q$ q con $m_q \neq 0$ in h

$$d\sigma(Q, m_q) = d\hat{\sigma}(Q, \mu) \otimes E(\mu, \mu_0) \otimes D(\mu_0, m) \quad \text{cosicché}$$

$$\log \frac{Q^2}{m_q^2} = \log \frac{Q^2}{\mu^2} \times E(\mu, \mu_0) \times \log \frac{\mu_0^2}{m_q^2} \quad \mu \gg \mu_0$$

large small calcolabile small

scale $\mu \sim Q \gg \mu_0 \sim m_q$ sono fittizie; invarianza della fisica $\frac{d(d\sigma)}{d \log \mu^2} = 0$

→ equazioni di evoluzione DGLAP di E: $\begin{cases} \frac{dE_i(\mu, \mu_0)}{d \log \mu^2} = -\frac{\alpha_s(\mu)}{2\pi} P_{ij} \otimes E_j(\mu, \mu_0) \\ E(\mu_0, \mu_0) = 1 \end{cases}$



Konishi, Ukawa, Veneziano
N.P. **B157** (79) 45

1. Introduzione
2. **Frammentazione in 1 adrone**
3. Jet Calculus

1. Calcolo nel Parton Model (LO)
2. Calcolo al NLO
3. **Large Logs**
4. Stato dell'arte per $e^+e^- \rightarrow h + X$

funzione di frammentazione perturbativa di un q in un q

$$\frac{dE_i(\mu, \mu_0)}{d \log \mu^2} = -\frac{\alpha_s(\mu)}{2\pi} P_{ij} \otimes E_j(\mu, \mu_0)$$

$$E(\mu_0, \mu_0) = 1$$

taking 1 loop

$$\alpha_s(\mu) = \frac{1}{b_0 \log \frac{\mu^2}{\Lambda_{QCD}^2}}$$

$$\log E(\mu, \mu_0) = \frac{P^{(0)}}{2\pi b_0} \log \frac{\alpha_s(\mu_0)}{\alpha_s(\mu)}$$

$$E(\mu, \mu_0) = \left[\frac{\alpha_s(\mu_0)}{\alpha_s(\mu)} \right]^{P^{(0)}/2\pi b_0}$$

in generale include $\alpha_s^n \log^n$
 → risommazione collineare
 al Leading Logarithm (LL)

taking 2 loops

$$E(\mu, \mu_0) = \left[\frac{\alpha_s(\mu_0)}{\alpha_s(\mu)} \right]^{P^{(0)}/2\pi b_0} \times \exp \left\{ \frac{\alpha_s(\mu_0) - \alpha_s(\mu)}{4\pi^2 b_0} \left(P^{(1)} - \frac{2\pi b_1}{b_0} P^{(0)} \right) \right\}$$

include $\alpha_s^n \log^{n-1}$ → risommazione collineare al
 Next-to-Leading Logarithm (NLL)

Vale anche per risommazione di radiazione
 soffice (Sudakov) LL

$$\alpha_s^n \left[\log^{2n-1}(1-x)/(1-x) \right]$$

$$\alpha_s^n \left[\log^{2n-2}(1-x)/(1-x) \right]$$

Mele e Nason, N.P. **B361** (91) 626
 Cacciari e Greco, NP. **B421** (94) 530

Bonciani *et al.*, N.P. **B529** (98) 424

1. Introduzione
2. Frammentazione in 1 adrone
3. Jet Calculus

1. Calcolo nel Parton Model (LO)
2. Calcolo al NLO
3. Large Logs
4. **Stato dell'arte per $e^+e^- \rightarrow h + X$**

Situazione: $d\hat{\sigma}(e^+e^- \rightarrow q\bar{q})$ nota a $O(\alpha_s^2)$ Rijken e van Neerven, P.L. **B386** (96) 422
time-like P_{ij} anche a $O(\alpha_s^3)$ per osservabili non-singlet

h, Vogt, P.L. **B638** (06) 61

NLO fit
de Florian, Sassot, Stratmann,
hep-ph/0703242

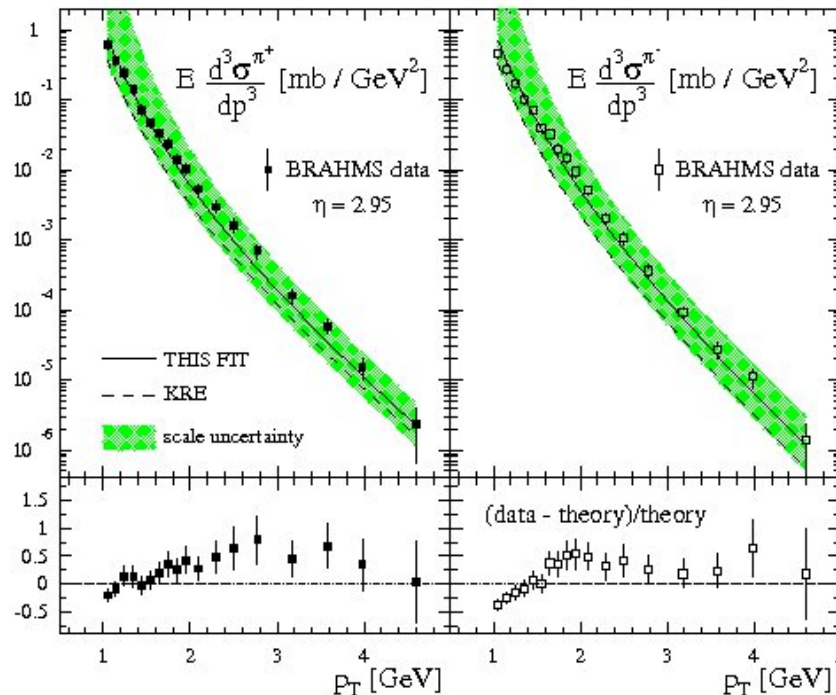


FIG. 5: upper panels comparison of our NLO results for single-inclusive charged pion production $pp \rightarrow \pi^\pm X$ at rapidity $\eta = 2.95$ (solid lines) with BRAHMS data. [21] using $\mu_f = \mu_r = p_T$. Also shown are the results obtained with the KRE [7] parametrization (dashed lines). The shaded bands indicate theoretical uncertainties when all scales are varied in the range $p_T/2 \leq \mu_f = \mu_r \leq 2p_T$. lower panels "(data-theory)/theory" for our NLO results.

1. Introduzione
2. **Frammentazione in 1 adrone**
3. Jet Calculus
4. Frammentazione in 2 adroni
5. 2h SIDIS

1. Calcolo nel Parton Model (LO)
2. Calcolo al NLO
3. Large Logs
4. **Stato dell'arte per $e+e- \rightarrow h + X$**

Ricapitolando:

- funzione di frammentazione perturbativa $E^{q \rightarrow q}$ risomma contributi collineari e soft da large logs \rightarrow introduce nuovo ordine di precisione:
 $O(\alpha_s^n) = N^n \text{LO}$ $O(1/Q^n) = \text{twist } 2+n$ $O(\alpha_s^n \log^n) = \text{LL}$ $O(\alpha_s^n \log^{n-1}) = \text{NLL}$
- introduce nuova formulazione dell'evoluzione, adatta all'applicazione ricorsiva del processo di branching con le regole del Jet Calculus

Per α_s a 1 loop \rightarrow LL, si ottiene

Konishi, Ukawa, Veneziano
N.P. **B157** (79) 45

$$D^{i \rightarrow h}(z, Q^2) = \sum_j E_i^j(Q^2, Q_0^2) \otimes D^{j \rightarrow h}(z, Q_0^2)$$

$$\frac{dE_i^j(z, Y)}{dY} = \sum_m E_m^j(z, Y) \otimes P_{mi}^{(0)}$$

$$Y = \frac{1}{2\pi b_0} \log \frac{\alpha_s(Q_0^2)}{\alpha_s(Q^2)} \quad \text{rapidity}$$

$$\alpha_s(Q^2) = \frac{1}{b_0 \log \frac{Q^2}{\Lambda_{QCD}^2}}$$

$$b_0 = \frac{11N_c - 2N_f}{12\pi}$$

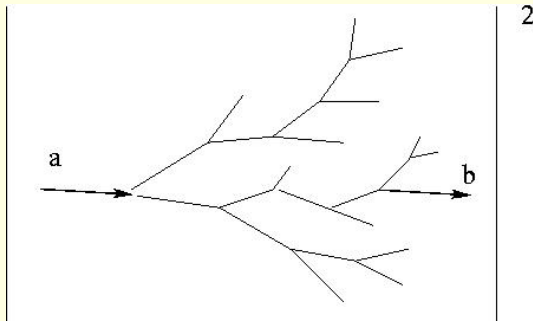


1. Introduzione
2. Frammentazione in 1 adrone
3. **Jet Calculus**

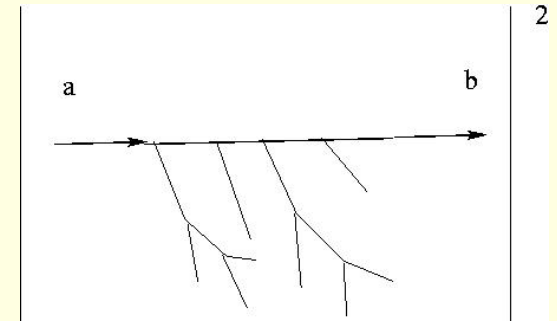
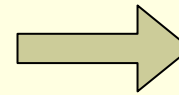
1. **Frammentazione in 1 adrone**
2. Frammentazione in 2 adroni

Frammentazione in 1 adrone in Jet Calculus

at LL
branching
 $\leftrightarrow P^{(0)}$



no
interferenze



strong ordering $i \rightarrow j+k$
 $q_j^2, q_k^2 \ll \epsilon q_i^2 \quad \epsilon \ll 1$

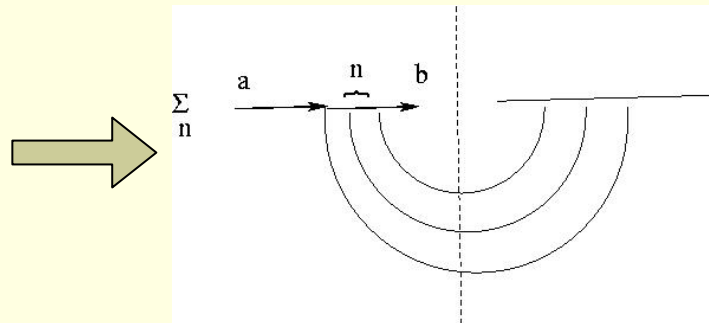
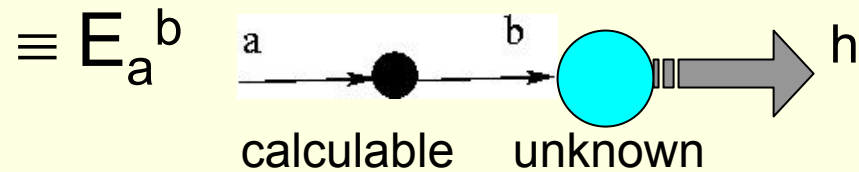


diagramma ladder $\rightarrow \exp [Y]$

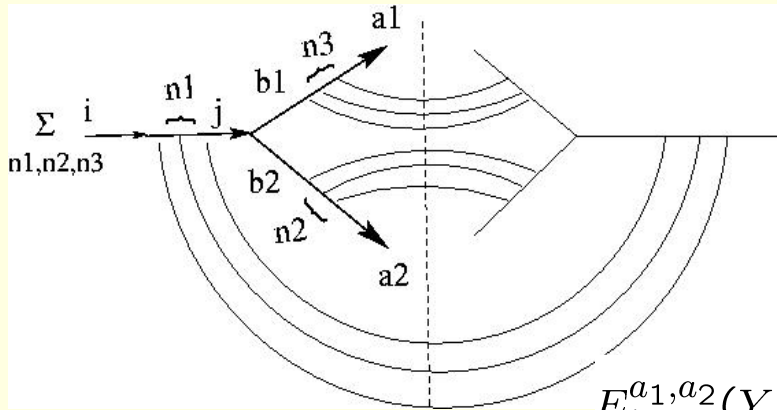


$$D^{a \rightarrow h}(z, Q^2) = E_a^b(Q^2, Q_0^2) \otimes D^{b \rightarrow h}(z, Q_0^2)$$

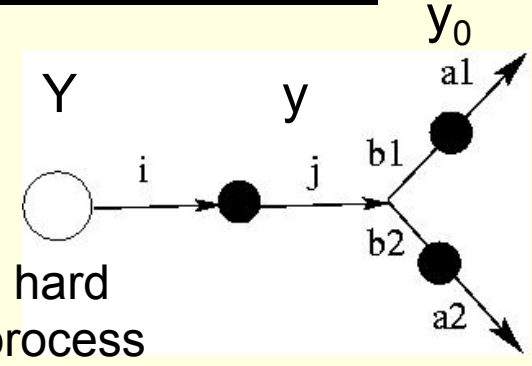
1. Introduzione
2. Frammentazione in 1 adrone
3. **Jet Calculus**

1. Frammentazione in 1 adrone
2. **Frammentazione in 2 adroni**

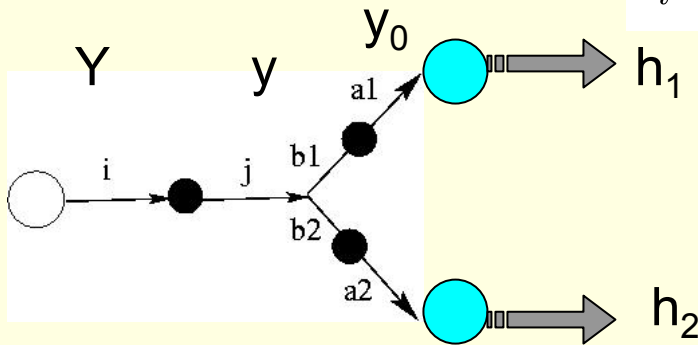
Frammentazione in due adroni in Jet Calculus



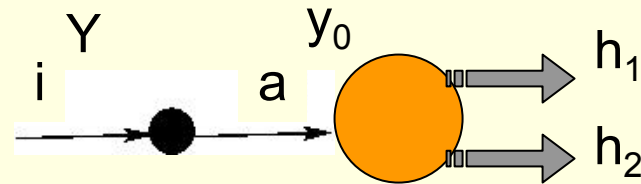
$$\equiv E_i^{a1, a2}$$



$$E_i^{a1, a2}(Y) = \int_{y_0}^Y dy E_{b1}^{a1}(y) \otimes E_{b2}^{a2}(y) \otimes \hat{P}_{b1 b2}^j \otimes E_i^j(Y - y)$$



+



$$D^{i \rightarrow h1 h2}(z1, z2, Y) = E_i^{a1, a2}(Y) \otimes D^{a1 \rightarrow h1}(z1, y_0) \otimes D^{a2 \rightarrow h2}(z2, y_0) + E_i^a(Y - y_0) \otimes D^{a \rightarrow h1 h2}(z1, z2, y_0)$$